

С 442

А-374

1466/2-76



СООБЩЕНИЯ  
ОБЪЕДИНЕННОГО  
ИНСТИТУТА  
ЯДЕРНЫХ  
ИССЛЕДОВАНИЙ

ДУБНА

19/12-76

P12 - 9454

Б.Айхлер, В.П.Доманов, И.Звара

ОПРЕДЕЛЕНИЕ ТЕПЛОТЫ АДСОРБЦИИ  
НА ОСНОВЕ ТЕРМОХРОМАТОГРАФИЧЕСКИХ ДАННЫХ

II. Хлориды металлов. Адсорбция на кварце

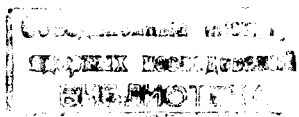
1976

P12 - 9454

Б.Айхлер, В.П.Доманов, И.Звара

ОПРЕДЕЛЕНИЕ ТЕПЛОТЫ АДСОРБЦИИ  
НА ОСНОВЕ ТЕРМОХРОМАТОГРАФИЧЕСКИХ ДАННЫХ

II. Хлориды металлов. Адсорбция на кварце



Так как многие металлы образуют сравнительно летучие безводные хлориды, существует интерес к хроматографии и термохроматографии хлоридов как к методам аналитического и препаративного разделения элементов. Эти методы были использованы для радиохимического анализа продуктов ядерных реакций<sup>/1,2,3/</sup>. Попутно в нескольких работах сделана попытка извлечь из экспериментальных данных сведения о теплоте /энталпии/ адсорбции. В дальнейшем будем применять символы  $Q_a$  или  $-\Delta H^\circ_a$  - в зависимости от принятого авторами цитируемой работы обозначения. Наиболее строгим методом является нахождение  $\Delta H^\circ_a$  по термодинамическим уравнениям, которые связывают изменение времени удерживания с изменением температуры изотермической колонки. Этот метод использовался в работе Поммира и др./4/ и Рудольфа и Бэхмана<sup>/5/</sup>.

Более "просто" можно оценить  $Q_a$ , используя молекулярно-динамическую картину адсорбции<sup>/6/</sup>. Предполагается, что степени заполнения поверхности  $\ll 1$  и что при каждом столкновении с поверхностью молекула адсорбируется и находится в адсорбированном состоянии в те-

чение времени  $\tau = \tau_0 \cdot e^{\frac{Q_a}{RT}}$ , где  $\tau_0$  - период колебаний адсорбированной молекулы в направлении, перпендикулярном поверхности / $\tau_0 \approx 10^{-13} - 10^{-12}$  с/.

Такое предположение эквивалентно допущению, что адсорбированное состояние представляет собой идеальный двумерный газ /образующийся из идеального трехмерного газа/, с чем связано вполне определенное изменение энтропии при адсорбции<sup>/7/</sup>.

В работе Зваровой и др.<sup>/8/</sup> по значениям констант адсорбционного равновесия, взятых из высокотемпера-

турной ветви фронтальной термохроматограммы, значения теплот адсорбции хлоридов некоторых металлов определялись непосредственно из молекулярно-динамического уравнения изобары адсорбции.

В работе Чубуркова и др./9/ и Звары и др./1/ значения  $Q_a$  находили по величине времени удерживания компонента  $t_r$  в изотермической колонке.

Меринис и др./10/ определяли  $Q_a$  по скорости перемещения адсорбционных пиков вдоль температурного градиента.

В первой работе этой серии/7/, исходя из динамического уравнения идеальной линейной газовой хроматографии, было выведено соотношение, связывающее  $-\Delta H_a^\circ$  с температурой осаждения вещества  $T_A$  для случая термохроматографической колонки с постоянным градиентом температуры.

Таким образом, теплота адсорбции является, помимо  $T_a$ , аргументом константы адсорбционного равновесия, времени удерживания в хроматографической колонке, скорости передвижения адсорбционной зоны в термохроматографической колонке и т.д. Отсюда многообразие методов оценки  $\Delta H_a^\circ$ .

Целью настоящей работы является анализ и сопоставление литературных значений адсорбции со значениями, полученными на основании метода, предложенного в /7/. Этим методом обсчитывались как наши экспериментальные данные/12/, так и данные других авторов /2,3,8,10,15/.

### Основные положения

Интегрирование динамического уравнения идеальной линейной газовой хроматографии приводит/7/ в случае линейного температурного градиента к соотношению, связывающему параметры термохроматографического эксперимента с теплотой адсорбции:

$$-\frac{t_r \cdot \bar{v}_0 \cdot \alpha}{s_1 \cdot T_0 \cdot \exp \frac{-\Delta S_a^\circ}{R}} = E_i^*\left(-\frac{\Delta H_a^\circ}{R T_A}\right) - E_i^*\left(-\frac{\Delta H_a^\circ}{R T_S}\right), \quad /1/$$

где  $t_r$  - время опыта /мин/;  $\bar{v}_0$  - объемный расход газа-носителя /мл.мин<sup>-1</sup>/;  $\alpha$  - температурный градиент /град.см<sup>-1</sup>/,  $\alpha < 0$ ;  $T_A$  - температура осаждения /°К/;  $s_1$  - поверхность единичного участка колонки /см<sup>2</sup>/;  $\Delta S_a^\circ$  - стандартная энтропия адсорбции /кал.мол<sup>-1</sup> град<sup>-1</sup>/;  $\Delta H_a^\circ$  - стандартная энталпия адсорбции /ккал.моль<sup>-1</sup>/;  $T_S$  - температура стартового участка /°К/;  $T_0$  - 298 °К;  $E_i^*(x)$  - интегральная показательная функция.

Применяя уравнение /1/ к анализу данных, удобно пользоваться его графическим представлением/7/, где левая часть /1/ представлена как функция от температуры осаждения для различных значений теплот адсорбции.

После введения ряда приближений из уравнения /1/ следует, что

$$T_A \approx -c_n \Delta H_a^\circ, \quad /2/$$

и при предельном упрощении следует ожидать, что

$$\Delta H_a^\circ = -\Delta H_{\phi, n}^\circ + k_n. \quad /3/$$

Здесь  $\Delta H_{\phi, n}^\circ$  - скрытая теплота фазового перехода /крик-сталил  $\rightarrow$  газ или жидк.  $\rightarrow$  газ/, а  $c_n$  и  $k_n$  - эмпирические константы.  $c_n$  определяется по наклону функции /точнее, корреляции/

$$T_A = c_n (\Delta H_{\phi, n}^\circ - k_n), \quad /4/$$

а  $k_n$  - по отрезку ординаты, равному  $-k_n c_n$ .

Из уравнения /1/ можно вывести соотношение, связывающее теплоту адсорбции со скоростью перемещения адсорбционной зоны вдоль линейного температурного градиента:

$$\ln t_r = -\frac{\Delta H_a^\circ}{R T_A} + K, \quad /5/$$

где

$$K = \frac{\Delta S_a^\circ}{R} + \ln \left[ \frac{s}{\bar{v}_0} \cdot \frac{T_0}{(1 - \alpha)} \right].$$

Здесь:  $V$  - свободный объем колонки /см<sup>3</sup>/,  $u_0$  - линейная скорость газа-носителя при  $T_0 = 298^{\circ}\text{K}$ ,  $s$  - внутренняя поверхность колонки /см<sup>2</sup>/.

Следовательно, теплоту адсорбции можно определить из уравнения /5/ по наклону функции  $\ln t_r = f(\frac{1}{T_A})$ .

Аналогичное выражение получено и использовано в работе /10/.

### Результаты и обсуждения

На основе экспериментальных данных наших работ /11/ и /12/ для функциональной зависимости /4/ методом наименьших квадратов были найдены значения констант  $c_n$  и  $k_n$ . В качестве скрытой теплоты перехода при различных температурах можно использовать теплоту возгонки или испарения.

В табл. 1 представлены различные значения констант уравнений /3/ и /4/ в зависимости от выбора скрытой теплоты перехода /13/ и /14/.

Таблица 1

Константы эмпирических соотношений (3) и (4)

п	Теплота перехода	Температура фазового перехода	град.моль ккал	ккал.моль <sup>-1</sup>	Коэффициент корреляции
1	$\Delta H^\circ$ возг.	$298^{\circ}\text{K}$	$11,97 \pm 0,36$	$-9,7 \pm 1,3$	0,95
2	$\Delta H^\circ$ возг.	т.пл.	$13,89 \pm 0,74$	$-5,7 \pm 2,1$	0,91
3	$\Delta H^\circ$ исп.	$298^{\circ}\text{K}$	$13,98 \pm 0,70$	$-6,2 \pm 1,9$	0,93
4	$\Delta H^\circ$ исп.	т.кип.	$17,53 \pm 0,68$	$-4,6 \pm 1,3$	0,94

В табл. 2 приведены значения теплот адсорбции хлоридов, полученные по уравнениям /2/ и /3/, а также средние квадратичные ошибки их определения. Вычисленные значения теплот адсорбции систематически изменяются в соответствии с выбором теплот переходов, которые использовались при определении  $c_n$  и  $k_n$  /см. табл. 2/.

В табл. 3 даны величины теплот адсорбции, вычисленные по уравнению /1/. При вычислениях за  $s_1$  принималась геометрическая внутренняя поверхность отрезка единичной длины. В случае капилляра  $s_1 = \pi d / d$  - внутренний диаметр капилляра/. Для хлоридов средняя энтропия адсорбции  $\Delta S_a^\circ$  оценивалась в - 40 кал.моль<sup>-1</sup> град.<sup>-1</sup>. В работах /2, 3, 8, 10, 15/ точность определения  $T_A$  составляет 10-20°.

Несмотря на различия экспериментальных условий, вычисленные значения  $\Delta H_a^\circ$  в большинстве случаев хорошо совпадают. Отклонения становятся заметными в том случае, если степень окисления транспортирующихся продуктов сильно зависит от хлорирующей способности газа-носителя. Например, в тех случаях, когда хлор не используется в качестве газа-носителя, для Ce, Ra, U и Ru были найдены более высокие температуры осаждения и, соответственно, большие значения теплот адсорбции.

Результаты нашей работы /12/ показывают, что между вычисленной по уравнению /1/ теплотой адсорбции хлоридов и скрытыми теплотами перехода  $\Delta H_{\text{возг.}}^\circ$  /при  $T = 298^{\circ}\text{C}$ /,  $\Delta H_{\text{возг.}}^\circ$  /при температуре плавления/ и  $\Delta H_{\text{исп.}}^\circ$  /при температуре кипения/ существует корреляция /табл. 4/. Приведенные в табл. 4 соотношения позволяют оценить теплоту адсорбции какого-либо компонента на кварце в атмосфере хлора, если известна одна из скрытых теплот перехода.

На рис. 1 показаны наши экспериментальные данные о температурах осаждения хлоридов Cs, Pb и Bi в зависимости от продолжительности опыта. Кроме этого, представлены теоретические зависимости /прямые/ температуры осаждения соединений с данными теплотами адсорбции от времени, вычисленные по уравнению /1/.

В табл. 5 представлены результаты расчетов теплот адсорбции хлоридов Cs, Pb и Bi по уравнению /5/ и по уравнению /1/. Значения теплот адсорбции, найденные вторым методом, находятся в хорошем соответствии с данными табл. 3. В то же время расчет теплоты адсорбции по скорости перемещения адсорбционной зоны вдоль температурного градиента приводит к сильно отличающимся результатам.

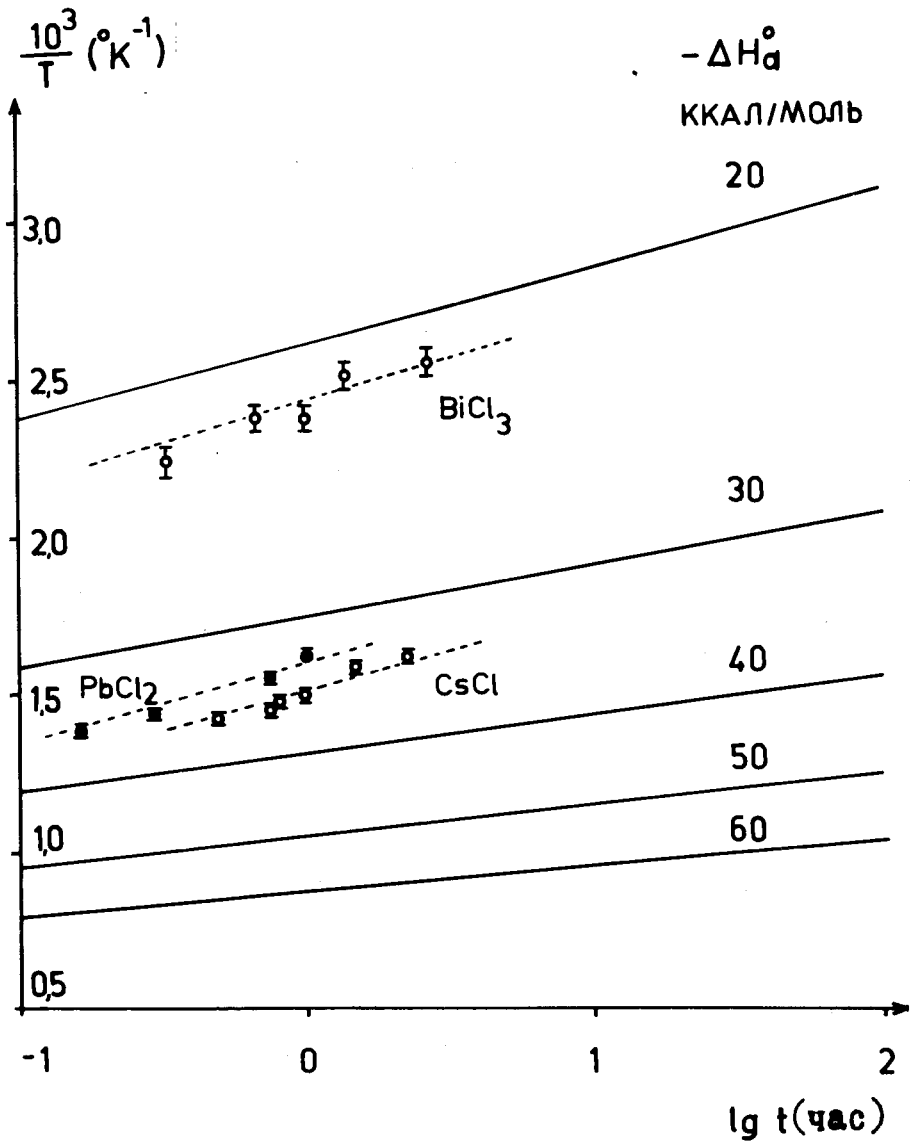


Рис. 1. Температуры осаждения хлоридов  $CsCl$ ,  $PbCl_2$  и  $BiCl_3$  на температурном градиенте в зависимости от времени.

Как видно из изменения наклона теоретически рассчитанных зависимостей /рис. 1/, для определения теплоты адсорбции по названному методу при  $\Delta H_a^\circ > 20$  ккал/моль нужна высокая точность определения положения зоны адсорбции, большой диапазон времен опыта и высокая устойчивость условий эксперимента. Данные рис. 1 и результаты вычислений, представленные в табл. 5, показывают, что температура осаждения "чувствительнее" характеризует теплоту адсорбции, чем скорость перемещения адсорбционной зоны.

Экспериментально найденные зависимости подтверждают, что для веществ с известной теплотой адсорбции уравнение /1/ позволяет приблизительно оценить зоны их осаждения на температурном градиенте в зависимости от времени.

### Заключение

Предложенные методы определения теплоты адсорбции основываются на идеализированной модели процесса транспортировки газов через колонку при дополнительных упрощающих предположениях. Поэтому могут быть получены не "истинные" значения теплот адсорбции, а некоторые эффективные величины, представляющие, однако, самосогласованный набор, пригодный для практического использования. Для оценки данного метода необходимо рассмотрение возможных ошибок и сравнение между собой значений теплот адсорбции, найденных по уравнению /1/ и полученных другими методами.

Областью допустимых ошибок табличных значений являются средние квадратичные ошибки, характеризующие только случайные отклонения. Найденные нами и в работе /10/ с использованием уравнений типа /5/ величины теплот адсорбции находятся в плохом соответствии с данными, полученными другими методами /табл. 2, 3, 5, 6/, и последовательностью осаждения различных хлоридов в колонке с температурным градиентом. Несмотря на хорошее физическое обоснование, применение этого способа оказывается нецелесообразным.

Таблица 2

Значения теплот адсорбции  $\Delta H_a^{\circ}$  (ккал/моль) некоторых хлоридов, вычисленные по уравнениям (2) и (3)

№ пп	Хлорид	$T_a [K^{\circ}]$	по $\Delta H^{\circ}$ возг. $C_1$		(при $T = 298^{\circ}$ )		по $\Delta H^{\circ}$ возг. $C_2$		(при т. пм.)		по $\Delta H^{\circ}$ исп. (при т. кип.)	
			$II, 97 \pm 0,36$	$-9,7 \pm 1,3$	$13,89 \pm 0,74$	$-5,7 \pm 2,1$	$C_4$	$K_4$	$17,53 \pm 0,68$	$-4,6 \pm 1,3$		
I	$CaCl_2$	II73 ± 50	98,0 ± 5,1	87,2 ± 3,5			84,5 ± 4,4				66,9 ± 3,5	
2	$ScCl_3$	739 ± 15	61,7 ± 2,4				53,2 ± 3,1				42,2 ± 1,9	
3	$MnCl_2$	783 ± 10	65,4 ± 2,1	61,7 ± 3,3			56,4 ± 3,1				44,7 ± 1,8	$41,8 \pm 3,9$
4	$Co$	658 ± 15	55,0 ± 2,1				47,4 ± 2,8				37,5 ± 1,7	
5	$NiCl_2$	763 ± 10	63,7 ± 2,1	68,8 ± 3,3			54,9 ± 3,0	59,5 ± 4,1			42,4 ± 1,7	$54,5 \pm 2,9$
6	$ZnCl_2$	583 ± 10	48,7 ± 1,7	47,7 ± 2,8			42,0 ± 2,4	42,8 ± 3,6			33,3 ± 1,4	$34,7 \pm 4,9$
7	$RbCl$	773 ± 40	64,6 ± 3,9	63,2 ± 2,3			55,7 ± 4,1	54,3 ± 3,1			44,1 ± 2,9	$45,8 \pm 3,9$
8	$SrCl_2$	I223 ± 40	102,2 ± 4,6	91,7 ± 3,3			88,1 ± 5,5				69,8 ± 3,6	
9	$YCl_3$	903 ± 30	75,4 ± 3,4	69,7 ± 3,3			65,0 ± 4,1				51,5 ± 2,1	
10	$ZrCl_4$	463 ± 10	38,7 ± 1,4	37,6 ± 2,8			33,3 ± 1,9	30,4 ± 3,1			26,4 ± 1,2	$31,5 \pm 2,9$
II	$NbCl_5$	413 ± 20	34,5 ± 2,0	32,5 ± 2,3			29,7 ± 2,1	25,7 ± 3,1			23,6 ± 1,5	$19,3 \pm 2,7$
I2	$Mo$	358 ± 10	29,9 ± 1,2				25,8 ± 1,7				20,4 ± 1,0	
I3	$TcCl_5$	408 ± 30	34,1 ± 2,7				29,4 ± 2,7				23,3 ± 1,9	
I4	$Pu$	583 ± 10	48,7 ± 1,7				42,0 ± 2,4				33,3 ± 1,4	
I5	$RhCl_3$	883 ± 25	73,8 ± 3,1				63,6 ± 3,8				50,4 ± 2,4	
I6	$PdCl_2$	863 ± 10	72,2 ± 2,3				42,3 ± 2,9	47,7 ± 3,3			33,5 ± 2,0	$36,5 \pm 3,1$
I7	$AgCl$	893 ± 50	74,6 ± 4,8	63,3 ± 5,3			64,3 ± 5,0	56,9 ± 5,1			50,9 ± 3,5	$48,7 \pm 5,9$
I8	$CdCl_2$	633 ± 50	52,9 ± 4,5	50,9 ± 3,3			45,6 ± 3,7	44,6 ± 3,1			36,1 ± 3,2	$35,8 \pm 2,7$
I9	$InCl_3$	623 ± 45	52,1 ± 4,1	49,7 ± 2,3			44,9 ± 4,0	43,5 ± 4,1			35,5 ± 2,9	$44,0 \pm 2,9$
20	$SbCl_5$	333 ± 20	27,8 ± 1,9				24,0 ± 1,9				19,0 ± 1,4	$20,3 \pm 2,9$
2I	$TeCl_4$	448 ± 5	37,4 ± 1,2	37,2 ± 2,9			32,3 ± 1,8	30,0 ± 3,6			26,6 ± 1,0	$23,0 \pm 3,4$
22	$CsCl$	683 ± 20	57,1 ± 2,4	59,7 ± 3,3			49,2 ± 3,0	54,3 ± 4,1			39,0 ± 1,9	$44,4 \pm 3,9$
23	$BaCl_2$	II73 ± 20	98,0 ± 3,4	88,7 ± 3,3			84,5 ± 4,7				66,9 ± 2,9	$63,2 \pm 2,9$
24	$LaCl_3$	II20 ± 40	93,0 ± 4,4	88,7 ± 3,3			80,1 ± 5,2	77,0 ± 3,6			63,5 ± 3,4	
25	$TbCl_3$	943 ± 10	78,7 ± 2,5	82,4 ± 3,3			67,8 ± 3,7				53,8 ± 2,2	
26	$Ce$	893 ± 20	74,6 ± 2,8				64,3 ± 3,7				50,9 ± 2,3	
27	$YbCl_3$	903 ± 10	75,4 ± 2,4				65,0 ± 3,5				51,5 ± 2,1	
28	$LuCl_3$	873 ± 10	72,9 ± 2,4	80,7 ± 3,3			62,8 ± 3,4				49,8 ± 2,0	
29	$HfCl_4$	453 ± 30	37,5 ± 2,8	34,8 ± 2,8			32,6 ± 2,8	29,5 ± 3,1			25,8 ± 1,9	$30,2 \pm 2,9$
30	$W$	353 ± 10	29,5 ± 1,2				25,4 ± 1,5				20,1 ± 1,0	
3I	$ReCl_5$	313 ± 5	26,1 ± 0,9	22,7 ± 3,0			22,7 ± 0,8				18,0 ± 0,6	
32	$Os$	393 ± 5	32,8 ± 1,1				28,3 ± 1,5				22,4 ± 1,0	
33	$Ir$	I008 ± 20	84,2 ± 3,1				72,6 ± 2,6				57,5 ± 2,1	
34	$Pt$	803 ± 50	67,1 ± 4,7				57,8 ± 4,0				45,8 ± 3,2	
35	$AuCl_3$	503 ± 20	42,0 ± 2,1	39,2 ± 3,3			36,2 ± 2,4				28,7 ± 1,6	
36	$HgCl_2$	353 ± 20	29,5 ± 1,9	29,7 ± 1,8			25,4 ± 2,0	24,3 ± 2,6			20,1 ± 1,4	$20,3 \pm 2,3$
37	$TiCl_4$	438 ± 20	36,6 ± 1,8	42,1 ± 2,1			31,5 ± 2,1	36,4 ± 3,1			25,0 ± 1,4	$31,0 \pm 2,9$
38	$PbCl_2$	588 ± 25	49,1 ± 2,6	54,7 ± 3,3			42,3 ± 2,9	47,7 ± 3,3			33,5 ± 2,0	$36,5 \pm 2,1$
39	$BiCl_3$	423 ± 20	35,3 ± 1,8	39,4 ± 3,3			30,5 ± 2,0				24,1 ± 1,4	$23,5 \pm 3,4$
40	$PoCl_4$	563 ± 20	47,0 ± 2,2				40,5 ± 2,6					

Таблица 3

Значения теплот адсорбции некоторых хлоридов, вычисленные по уравнению (1) на основании литературных данных о температурах осаждения

Элемент	Ссылка	Газ - носитель	Адсорбент	Температура осаждения	$-\Delta H_a^{\circ}$ [ККАЛ/МОЛ]
Ca	/I2/	$\text{Cl}_2 + \text{CCl}_4$	кварц	II73 $\pm$ 50	59,6 $\pm$ 2,6
Sc	/I2/	- " -	- " -	739 $\pm$ 15	37,4 $\pm$ 0,9
Mn	/I2/	- " -	- " -	783 $\pm$ 10	39,7 $\pm$ 0,5
Fe	/I2/	- " -	- " -	433 $\pm$ 20	22,5 $\pm$ 1,0
	/I0/	$\text{Cl}_2$	- " -	433	23,8
Co	/I2/	$\text{Cl}_2 + \text{CCl}_4$	- " -	658 $\pm$ 15	33,3 $\pm$ 0,8
Ni	/I2/	- " -	- " -	763 $\pm$ 10	38,3 $\pm$ 0,5
Zn	/I2/	- " -	- " -	583 $\pm$ 10	29,9 $\pm$ 0,5
Rb	/I2/	- " -	- " -	773 $\pm$ 40	39,3 $\pm$ 2,1
Sr	/I2/	- " -	- " -	I223 $\pm$ 40	62,0 $\pm$ 2,1
Y	/I2/	- " -	- " -	903 $\pm$ 30	45,8 $\pm$ 1,5
Zr	/I2/	- " -	- " -	463 $\pm$ 10	22,8 $\pm$ 0,5
Nb	/I2/	- " -	- " -	416 $\pm$ 20	21,1 $\pm$ 1,0
	/8/	$\text{SOCl}_2$	- " -	463	23,3
	/8/	$\text{SOCl}_2$	стекло	373	18,7
Mo	/I2/	$\text{Cl}_2 + \text{CCl}_4$	кварц	358 $\pm$ 10	18,1 $\pm$ 0,5
Tc	/I2/	- " -	- " -	408 $\pm$ 30	20,6 $\pm$ 1,5
Ru	/I2/	- " -	- " -	583 $\pm$ 10	29,6 $\pm$ 0,5
	/I5/	$\text{SOCl}_2$	- " -	708	38,8
Rh	/I2/	$\text{Cl}_2 + \text{CCl}_4$	- " -	883 $\pm$ 25	44,9 $\pm$ 1,3
Pd	/I2/	- " -	- " -	863 $\pm$ 10	43,7 $\pm$ 0,5
Ag	/I2/	- " -	- " -	893 $\pm$ 50	45,3 $\pm$ 2,6
Cd	/I2/	- " -	- " -	633 $\pm$ 50	32,0 $\pm$ 2,6
In	/I2/	- " -	- " -	623 $\pm$ 45	31,5 $\pm$ 2,3
	/9/	$\text{SOCl}_2$	стекло	603	30,6
Sb	/I0/	$\text{Cl}_2$	кварц	328	18,1
	/I2/	$\text{Cl}_2 + \text{CCl}_4$	- " -	333 $\pm$ 20	17,0 $\pm$ 1,0
Te	/I2/	- " -	- " -	448 $\pm$ 5	22,8 $\pm$ 0,3
Cs	/I2/	- " -	- " -	683 $\pm$ 20	34,5 $\pm$ 1,0
	/I0/	$\text{Cl}_2$	- " -	623	33,9
	/I5/	$\text{Ar} + \text{SOCl}_2$	- " -	563	31,1
Ba	/I2/	$\text{Cl}_2 + \text{CCl}_4$	- " -	II73 $\pm$ 20	59,6 $\pm$ 1,0
La	/I2/	- " -	- " -	III3 $\pm$ 40	56,5 $\pm$ 2,1
	/I5/	$\text{SOCl}_2$	- " -	1048	57,6
	/I0/	$\text{Cl}_2 + \text{CCl}_4$	- " -	938	51,4

Таблица 3 (продолжение)

Элемент	Ссылка	Газ - носитель	Адсорбент	Температура осаждения	$-\Delta H_a^{\circ}$ [ККАЛ/МОЛ]
Ce	/10/	$\text{Cl}_2 + \text{CCl}_4$	кварц	718	39,3
	/15/	$\text{SOCl}_2$	- " -	918	50,6
	/12/	$\text{Cl}_2 + \text{CCl}_4$	- " -	893 $\pm$ 20	45,3
Tb	/I2/	- " -	- " -	943 $\pm$ 10	47,9 $\pm$ 0,5
	/10/	- " -	- " -	793	43,2
Yb	/I2/	- " -	- " -	903 $\pm$ 10	45,9 $\pm$ 0,5
Lu	/I0/	- " -	- " -	793	43,2
	/12/	- " -	- " -	872 $\pm$ 10	44,2
Hf	/I2/	- " -	- " -	453 $\pm$ 30	22,9 $\pm$ 1,5
	/8/	$\text{SOCl}_2$	стекло	463	23,3
	/8/	$\text{SOCl}_2 + \text{NbCl}_5$	- " -	498	25,8
W	/I2/	$\text{Cl}_2 + \text{CCl}_4$	кварц	353 $\pm$ 10	18,0 $\pm$ 0,5
	/3/	$\text{Cl}_2$	- " -	353	20,9
Re	/10/	$\text{Cl}_2$	- " -	283	15,5
	/3/	- " -	- " -	288	16,2
	/12/	$\text{Cl}_2 + \text{CCl}_4$	- " -	315 $\pm$ 5	16,1 $\pm$ 0,3
Os	/I0/	$\text{Cl}_2$	- " -	333	18,4
	/3/	- " -	- " -	333	18,6
	/12/	$\text{Cl}_2 + \text{CCl}_4$	- " -	393 $\pm$ 5	19,9 $\pm$ 0,3
Ir	/3/	$\text{Cl}_2$	- " -	848	50,1
	/10/	- " -	- " -	823	45,1
	/12/	$\text{Cl}_2 + \text{CCl}_4$	- " -	1008 $\pm$ 20	51,1 $\pm$ 1,0
Pt	/3/	$\text{Cl}_2$	- " -	543	32,0
	/10/	- " -	- " -	548	30,2
	/12/	$\text{Cl}_2 + \text{CCl}_4$	- " -	803 $\pm$ 50	40,5 $\pm$ 2,6
Au	/3/	$\text{Cl}_2$	- " -	463	26,0
	/12/	$\text{Cl}_2 + \text{CCl}_4$	- " -	503 $\pm$ 20	25,4 $\pm$ 1,0
Hg	/I2/	- " -	- " -	353 $\pm$ 20	18,0 $\pm$ 1,0
Tl	/I2/	- " -	- " -	438 $\pm$ 15	22,2 $\pm$ 0,9
Pb	/I2/	- " -	- " -	588 $\pm$ 25	29,8 $\pm$ 1,3
Bi	/I2/	- " -	- " -	423 $\pm$ 15	21,4 $\pm$ 0,9
Po	/I2/	- " -	- " -	563 $\pm$ 20	28,6 $\pm$ 1,0
Th	/9/	$\text{SOCl}_2 + \text{NbCl}_5$	стекло	703	35,7
	/9/	$\text{SOCl}_2 + \text{ZrCl}_4$	- " -	673	34,1
	/2/	$\text{Cl}_2 + \text{CCl}_4$	кварц	703	38,8
	/10/	- " -	- " -	623	34,1
Pa	/9/	$\text{SOCl}_2$	стекло	573	29,1
	/9/	$\text{SOCl}_2 + \text{NbCl}_5$	- " -	573	29,1
	/2/	$\text{Cl}_2 + \text{CCl}_4$	кварц	368	20,6
	/10/	- " -	- " -	368	20,4
U	/9/	$\text{SOCl}_2 + \text{ZrCl}_4$	стекло	653	35,7
	/2/	$\text{Cl}_2 + \text{CCl}_4$	кварц	633	34,1
	/2/	$\text{CCl}_4 + \text{Ar}$	- " -	633	38,8
	/2/	$\text{HCl} + \text{H}_2$	- " -	823	34,1

Таблица 4

Корреляция между теплотой адсорбции и скрытыми теплотами фазового перехода

Температура фазового перехода	
$-\Delta H_a^0 = (0,655 \pm 0,042) \Delta H_{\text{возд.}}^0 + (4,3 \pm 2,1) 0,962;$	298°К
$-\Delta H_a^0 = (0,680 \pm 0,051) \Delta H_{\text{возд.}}^0 + (5,2 \pm 2,8) 0,966;$	т. плав.
$-\Delta H_a^0 = (0,835 \pm 0,073) \Delta H_{\text{исп.}}^0 + (5,7 \pm 2,4) 0,941$	т. кип.

Таблица 5

Результаты определения теплот адсорбции хлоридов Cs, Pb и Bi по скорости перемещения адсорбционной зоны вдоль линейного температурного градиента (по уравнению(5)) и по температуре осаждения (по уравнению (1))

Хлорид	Уравнение	Время /ч/	$-\Delta H_a^0$ [ккал/моль]
$\text{CsCl}$	(1)	0,5	35,6
		0,75	35,0
		0,75	34,9
		1,0	34,4
		1,5	33,3
		2,5	33,4
	(5)		$16,0 \pm 2,0$
$\text{PbCl}_2$	(1)	0,17	34,5
		0,33	34,0
		0,75	33,2
		1,0	32,1
	(5)		$15,1 \pm 2,5$
$\text{BiCl}_3$	(1)	0,33	22,1
		0,67	21,6
		1,33	21,3
		2,66	21,4
	(5)		$13,5 \pm 2,5$

Таблица 6

Литературные данные о теплотах адсорбции хлоридов некоторых металлов

Элемент	Ссылка	Хлорирующий агент	Адсорбент	Теплота адсорбции $-\Delta H_a^0$ (ккал/моль)
Na	/1/	$\text{NbCl}_5 + \text{ZrCl}_4$	Стекло	$35,0 \pm 1,0$
Sc	/1/	$\text{NbCl}_5 + \text{ZrCl}_4$	-	$36,0 \pm 2,0$
	/4/	-	Графит	14,3
Zr	/1/	$\text{NbCl}_5 + \text{ZrCl}_4$	Стекло	20,0
	/5/	$\text{CCl}_4$	Кварц	$21,6 \pm 2,3$
	/8/	$\text{SOCl}_2$	Стекло	18,0
Nb	/9/	$\text{SOCl}_2$	-	17,4
	/1/	$\text{NbCl}_5 + \text{ZrCl}_4$	-	18,0
	/4/	-	Графит	13,8
	/5/	$\text{CCl}_4$	Кварц	$23,7 \pm 2,5$
Mo	/5/	$\text{CCl}_4$	-	$17,2 \pm 3,1$
	/8/	$\text{SOCl}_2$	Стекло	29,0
In	/1/	$\text{NbCl}_5 + \text{ZrCl}_4$	-	31,0
	/9/	$\text{SOCl}_2$	-	30,6
Sb	/10/	$\text{Cl}_2$	Кварц	55,0
Te	/5/	$\text{CCl}_4$	-	$20,3 \pm 2,7$
CS	/10/	$\text{Cl}_2$	-	95,0
Ce	/10/	$\text{Cl}_2 + \text{CCl}_4$	-	20,0
Tb	/1/	$\text{NbCl}_5 + \text{ZrCl}_4$	Стекло	36
	/8/	$\text{SOCl}_2$	-	22,3
Hf	/8/	$\text{SOCl}_2 + \text{NbCl}_5$	-	23,0
	/1/	$\text{NbCl}_5 + \text{ZrCl}_4$	-	20,0
	/9/	$\text{SOCl}_2$	-	21,0
Ta	/8/	$\text{SOCl}_2$	-	20,0
	/4/	-	Графит	13,5
Th	/8/	$\text{SOCl}_2 + \text{NbCl}_5$	Стекло	36,7
	/8/	$\text{SOCl}_2 + \text{ZrCl}_4$	-	32,6
	/1/	$\text{NbCl}_5 + \text{ZrCl}_4$	-	$34,7 \pm 0,3$
	/8/	$\text{SOCl}_2$	-	29,5
Pa	/8/	$\text{SOCl}_2 + \text{NbCl}_5$	-	29,1
	/10/	$\text{Cl}_2 + \text{CCl}_4$	Кварц	115,0
U	/8/	$\text{SOCl}_2 + \text{ZrCl}_4$	Стекло	31,8
Cf	/1/	$\text{NbCl}_5 + \text{ZrCl}_4$	-	38
Fe	/1/	-	-	38
Ku	/1/	-	-	$21,5 \pm 1,5$

При выводе соотношений /2/ и /3/ сделан ряд сильно упрощающих допущений, которые могут привести к большим систематическим ошибкам. Выбор скрытой теплоты перехода делается произвольно. Это, конечно, приводит к систематической ошибке, общая ширина вариации которой может достигать 30%, но полученные результаты

соответствуют последовательности осаждения в колонке с температурным градиентом. Хорошее совпадение значений теплот адсорбции в случае использования в качестве скрытой теплоты перехода  $\Delta H_a^{\circ}$  /при температуре кипения/ в уравнении /4/ с вычисленными значениями /табл. 4,6/ является, по-видимому, случайным. Поэтому для вычисления теплоты адсорбции по уравнению /4/ заранее нельзя отдать предпочтение одной из скрытых теплот перехода. Метод, описываемый уравнениями /2/-/4/, пригоден лишь для приблизительных оценок теплоты адсорбции.

Определение теплоты адсорбции по уравнению /1/ при известной температуре осаждения нужно считать наиболее точным методом, т.к. результаты хорошо согласуются с литературными данными, которые получены другими способами /табл. 4,6/ и, в частности, термодинамическими.

В заключение нужно проверить влияние изменения переменных уравнения /1/ на точность вычисления теплоты адсорбции. На рис. 2 для определения теплоты адсорбции гипотетических элементов температура осаждения представлена как функция отдельных независимых переменных  $\Delta S_a^{\circ}$  или  $\exp \frac{\Delta S_a^{\circ}}{R}$ ,  $s$ ,  $t_r$ ,  $\bar{v}_0$  и  $a$ .

При этом принимались следующие модельные условия:  $t_r = 60$  мин;  $\bar{v}_0 = 20$  мл.мин $^{-1}$ ;  $a = -20$  град.см $^{-1}$ ;  $s = 10$  см $^2$ ;  $\Delta S^{\circ} = -41$  кал.моль $^{-1}$ .град $^{-1}$ ;  $T_s = 1273$ °К.

Воздействия всех возможных случайных отклонений незначительны по сравнению с систематическими ошибками при определении средней величины поверхности и энтропии адсорбции. Поскольку за  $s_1$  принималась геометрическая поверхность адсорбента, а за  $\Delta S_a^{\circ}$  - значение, отвечающее большей подвижности молекул адсорбата, то по представленным зависимостям /рис. 2/ можно оценить, скорее, верхние границы  $\Delta H_a^{\circ}$ . Систематическая ошибка может, по-видимому, достигать 30%.

Таким образом, определяемая по уравнению /1/ теплота адсорбции служит прежде всего в качестве сравнительной величины для сопоставления результатов термохроматографических исследований при различных условиях и для планирования эксперимента.

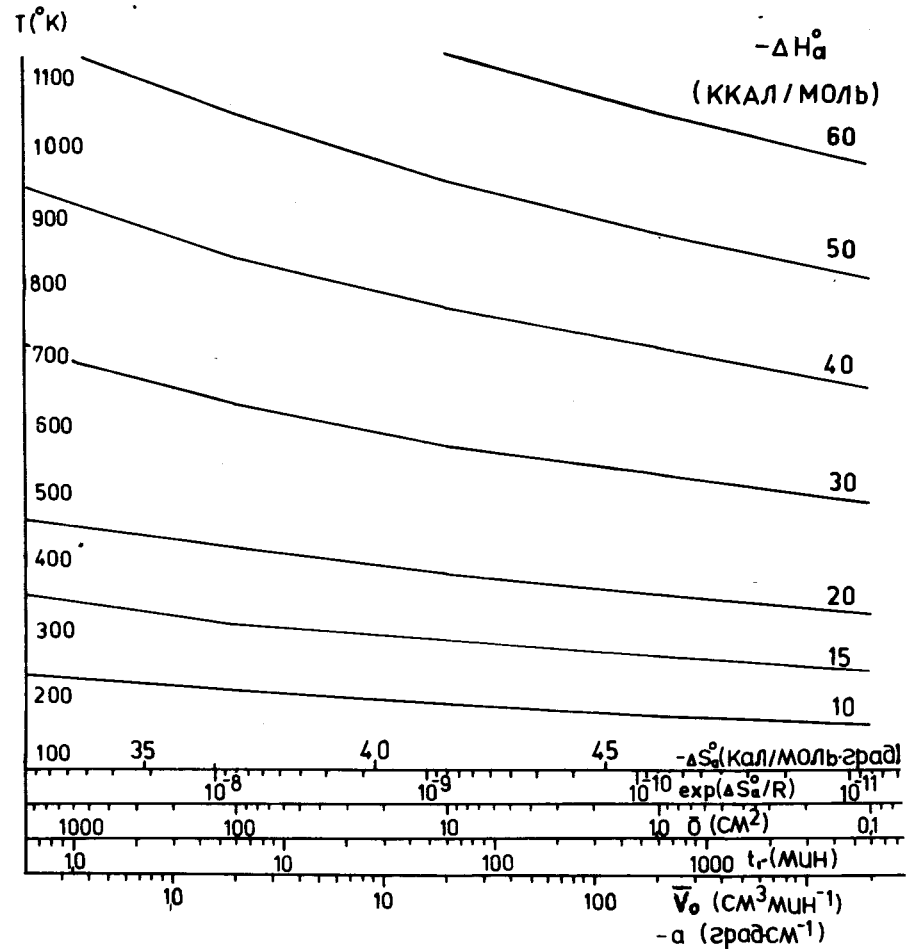


Рис. 2. Зависимость температуры осаждения  $T_A$  (°К) гипотетических веществ с заданными значениями  $-\Delta H_a^{\circ}$  от энтропии адсорбции  $\Delta S_a^{\circ}$  и экспериментальных параметров.

Авторы благодарны академику Г.Н.Флерову за интерес и внимание к работе.

## Литература

1. И.Звара, Ю.Т.Чубурков, Р.Цалетка и М.Р.Шалаевский. Радиохимия, 11, 163 /1969/.
2. J.Merinis, Y.Legoux, G.Boussieres. Radiochem. Radioanal. Letters, 3(4), 255 (1970).
3. J.Merinis, G.Bouissieres. Anal. Chem. Acta., 25, 498 /1961/.
4. C.Pommier, C.Eon, H.Fould, G.Guiochon. Bull. Soc. Chim. France, No. 4, 1401 /1969/.
5. J.Rudolph, K.Bächman. 8-th Czechoslovak Radiochemical Conference. Marianske Lazne, 1975.
6. Я. Де Бур. Динамический характер адсорбции. ИЛ., М., 1962.
7. Б.Айхлер, И.Звара. Сообщение ОИЯИ, Р12-8943, Дубна, 1975.
8. Т.С.Зварова, Ю.Т.Чубурков, И.Звара. Сообщение ОИЯИ, Р6-4130, Дубна, 1968.
9. Ю.Т.Чубурков, Г.В.Букланов, И.Звара. Сообщение ОИЯИ, Р12-4547, Дубна, 1969.
10. J.Merinis, G.Bouissieres. Radiochemica Acta, 12(3), 140 /1969/.
11. Б.Айхлер. Сообщение ОИЯИ, Р12-7767, Дубна, 1974.
12. Б.Айхлер, В.П.Доманов. Сообщение ОИЯИ, Р12-7775, Дубна, 1974.
13. O.Kubaschewski, E.L.L.Evans. Metallurgical Thermochemistry, 5. Thermochem. Date Pergamon Press, London, 1967.
14. М.Х.Карапетьянц. Основные константы неорганических и органических веществ. Химия, М., 1968.
15. A.V.Davidov, J.Radioanal. Chem., 14 (2), 285 (1973).

Рукопись поступила в издательский отдел  
14 января 1976 года.